

立命館大学 大学院 常任員○森本 登志也  
 明石工業高等専門学校 正員 角田 忠  
 立命館大学 理工学部 正員 明石 外世樹

### 1. まえがき

セメントペーストおよびモルタルの凝結過程を測定する方法として、貫入抵抗値や超音波パルスの速度変化などにより行われているが、これらの方では測定によって得られる物理値が一点のみに着目されている。本研究は、円柱供試体の底部を加振し、強制振動における共振点および自由振動における減衰性状の測定による粘弾性定数と貫入抵抗値、圧縮強度までの配合要因との関連を比較、検討し、総合的にペーストおよびモルタルの凝結硬化過程を考察したものである。

### 2. 実験概要

2.1 使用材料および配合 セメントは普通ポルトラニドセメント、細骨材は豊浦標準砂を使用した。配合を表-1に示す。

2.2 実験方法 試料は強制練りミキサで3分間練り混ぜた後、ビニール製円柱型枠(直径60mm)に高さが20cmになるように詰めた。ビックアップは、P·E·T系織波振動子(共振振動数50kHz)に塩ビ製円板(直径60mm)を取り付けて使用した。振動測定装置を図-1に示す。共振点の測定は、車輌信号を振動器に入力し、供試体の軸方向に織波振動を起して最大振幅を測定した。減衰振動の測定は、GATE信号を振動器に入力し、1次共振点を測定した。圧縮試験は5φ×10cmの供試体を用い、6,8,10,12,24時間にそれぞれ5本試験を行った。

2.3 解析方法 本研究では、ペーストおよびモルタルを粘弾性体とし、粘性型減衰を有する系の自由振動であるVoigt-Eモデルにマスをとりつけたものと仮定し解析した。

織弾性係数  $E_d$  ( $\text{kg/cm}^2$ )、織波伝播速度  $V_d$  ( $\text{m/sec}$ )、減衰比  $D$  は次式により求めた。

$$E_d = 4 \cdot H^2 f_1^2 \rho, \quad V_d = 2 \cdot H f_1, \quad D = \delta / \sqrt{4\pi^2 + \delta^2}$$

$H$ : 供試体の長さ(cm),  $f_1$ : 1次共振振動数(Hz),  $\rho$ : 供試体の単位体積重量( $\text{kg/cm}^3$ )

$\delta$ : 対数減衰率

### 3. 結果および考察

減衰波形を写真1～3に示す。減衰波形は測定開始後1～3時間くらいまでは、ペーストおよびモルタルが液体に近い挙動を示すが、波形の測定は困難である。(写真1)以後、凝結硬化が進行するにつれて波形は安定する。(写真2・3)織弾性係数と圧縮強度、織波伝播速度と圧縮強度の関係をそれぞれ図-2③に示す。圧縮試験は脱型時に試験が可能である時間から測定した。 $E_d$ が  $1000 \text{ kg/cm}^2$  以上、 $V_d$ が  $700 \text{ m/sec}$  以上になると脱型が可能であると考えられる。減衰比と圧縮強度の関係を図-4に示す。 $W/c=25\%$  ペーストについて、圧縮強度が約  $200 \text{ kg/cm}^2$  に達するまでは、 $D$  の減少とともに圧縮強度の増進が少しあげ、それ以上にだらかに  $D$  の時間変化のわずかが増加に対しても、強度が指数的に増加する。ペーストおよびモルタルの構造が形成されると、弾性的成分が粘性的成分より卓越することを示していると考えられる。圧縮強度と減衰比の関係は、配合には無関係であると考

表-1 配合

w/c	Factor
2.5%	paste, s/c=1:2
3.5%	paste, s/c=1:2, s/c=1:1
4.5%	paste, s/c=1:2, s/c=1:1

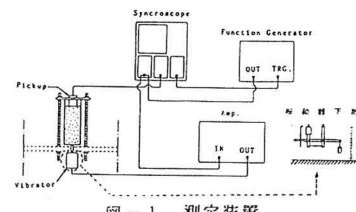


図-1 測定装置

$W/c=25\% \quad S/c=1:2$

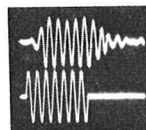


写真-1 経過時間  
1時間

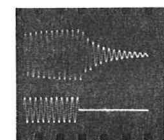


写真-2 経過時間  
2時間

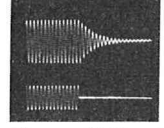


写真-3 経過時間  
4時間

えられる。減衰比と貫入抵抗値の関係を図-5に示す。減衰化と貫入抵抗値は配合に無関係で貫入抵抗値が500 psi附近で減衰比の時間変化が減少し、この値をこえると貫入抵抗値は指数的に増加する。ASTMでは貫入抵抗値が500 psiを基準とし、500 psi以下では再振動が可能であり、4000 psiに達すると発達が終了するとしている。貫入抵抗値が500 psi附近までは、ペーストおよびモルタルの粘性的成分が弾性的成分よりも卓越するから再振動が可能であり、4000 psi附近では減衰比の時間変化のわざやか変化に対しても貫入抵抗値が指数的に増加して、ペーストおよびモルタルの構造が形成され発達が終了すると考へられる。縦弹性係数と貫入抵抗値の関係を図-6に示す。貫入抵抗値が500 psi、縦弹性係数が $2.0 \times 10^3 \text{ kg/cm}^2$ 付近で変化点がある。この変化点は擬似硬化過程で弾性的成分が粘性的成分より卓越する段階へ移行する変化点で、この点を境に飛躍的にペーストおよびモルタルの内部組成の構造が確立されていくと考えられる。この変化点は図-8に示した縦波伝播速度と貫入抵抗値の関係の図についても貫入抵抗値が500 psi、縦波伝播速度が30 m/sec附近に存在する。図-7、図-9はそれぞれ図-6、図-8における貫入抵抗値を対数にとりプロットしたものである。貫入抵抗値 P と縦弹性係数 Ed および縦波伝播速度 V<sub>L</sub> には次の関係式が存在する。

$$\log P = 1.69 + 4.65 \times 10^{-4} \cdot Ed$$

$$\log P = 0.864 + 6.16 \times 10^{-3} \cdot V_L$$

ここで P: 贯入抵抗値 (psi)

Ed: 縦弹性係数 ( $\text{kg/cm}^2$ )

V<sub>L</sub>: 縦波伝播速度 ( $\text{m/sec}$ )

上の式のそれぞれの相関係数は  $r=0.922$ ,  $r=0.955$  であり高い相関を示している。

#### 4.まとめ

擬似硬化過程における共振現象、減衰性状などの動的現象は、試料内部組成の経時変化と密接な関係があり、貫入抵抗値、縦振動時の縦波伝播速度、縦弹性係数といった物理量と対応関係があると考えられる。

参考文献：1) 石原、土壤動力学の基礎、鹿島出版

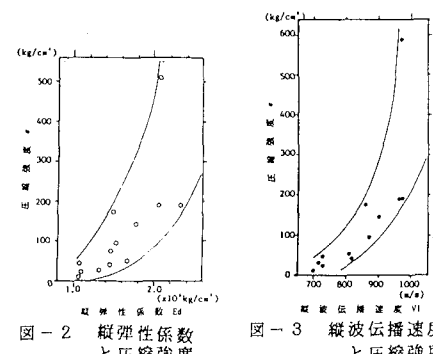


図-2 縦弹性係数と圧縮強度

図-3 縦波伝播速度と圧縮強度

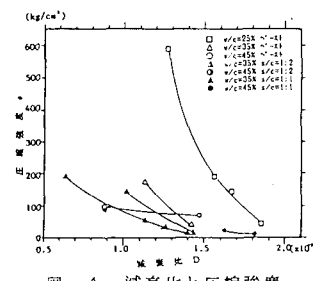


図-4 減衰比と圧縮強度

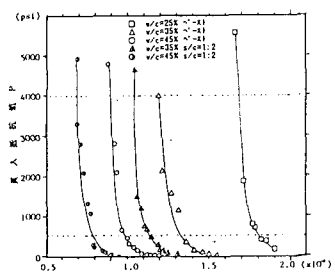


図-5 減衰比と貫入抵抗値

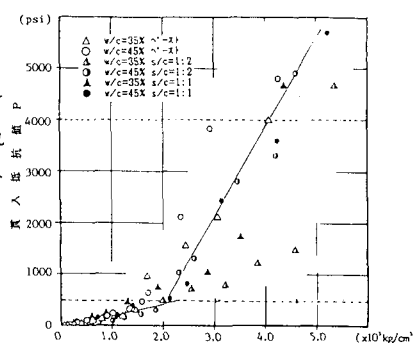


図-6 縦弹性係数と貫入抵抗値

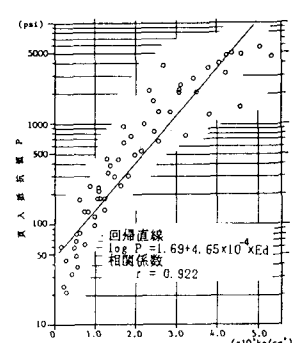


図-7 縦弹性係数と貫入抵抗値

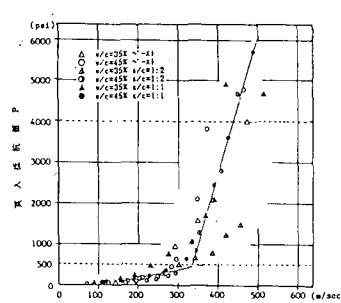


図-8 縦波伝播速度と貫入抵抗値

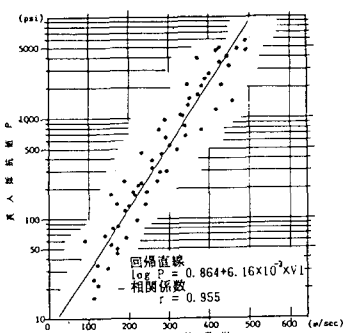


図-9 縦波伝播速度と貫入抵抗値